

## ستز و بررسی هدایت یونی نانوکامپوزیت

**Ca<sub>0.05</sub>Sm<sub>0.2</sub>Ce<sub>0.75</sub>O<sub>1.9-δ</sub>-(Li,Na)<sub>2</sub>CO<sub>3</sub>**

### اکسید جامد دما پایین (LT-SOFC)

نوید توسلی<sup>۱</sup>، حامد صمدی<sup>۲</sup>، علی نعمتی<sup>۳</sup>

<sup>۱</sup> دانشکده مهندسی مواد، واحد علوم و تحقیقات تهران، دانشگاه آزاد اسلامی، تهران،

<sup>۲</sup> گروه مهندسی مواد، دانشکده فنی و مهندسی، دانشگاه ملایر، ملایر،

<sup>۳</sup> دانشکده مهندسی مواد و متالوژی، دانشگاه صنعتی شریف، تهران

H.samadi@srbiau.ac.ir

#### چکیده:

از نقاط ضعف پیلهای سوتی اکسید جامد (SOFC) دمای بالای فعال سازی هدایت یونی در الکتروولیت آنها است. یکی از روش‌هایی که به منظور کاهش این دما مورد توجه محققان قرار گرفته است، بهره‌گیری از دوب هم زمان دو عنصر در اکسید سریم (سریم) و نیز اختلاط آن با یک نوع از نمک‌های فلزی مانند کربنات‌های آست. در تحقیق حاضر، با دوب دو عنصر (کلسیم و ساماریم) در اکسید سریم، ابتدا پودر CSDC 5 (Ca<sub>0.05</sub>Sm<sup>0.2</sup>Ce<sup>0.75</sup>O<sup>1.9-δ</sup>) با روش احتراق نیترات - سیترات سنتز گردید. سپس از روش پراش اشعه ایکس (XRD) برای آنالیز فازی و تعیین اندازه بلورک‌ها و جهت بررسی مورفوولوژی نمونه‌های سنتز شده پودری و زیستر شده از میکروسکوپ الکترونی روشنی گسیل (FE-SEM) بهره‌گرفته شد. الگوهای XRD نشان از تشکیل محلول جامد سریمی دوب شده با ساماریم و کلسیم دارد. طبق نتایج حاصل از الگوی پراش اشعه ایکس در جهت (111) اندازه بلورک‌ها ۱۹ nm بدلست آمد. تصاویر FE-SEM نشان داد که نانوذرات 5 CSDC کروی شکل بوده و اندازه‌ی در حدود ۲۰ nm داشتند. اندازه‌گیری هدایت یونی تمامی نمونه‌ها به روش طیفسنجی امپلانس الکتروشیمیایی (EIS) در بازه دمایی ۶۵-۷۵°C انجام گرفت. نتایج این آزمون مشخص کرد که Ca<sub>0.05</sub>Sm<sub>0.2</sub>Ce<sub>0.75</sub>O<sub>1.9-δ</sub> از هدایت یونی برابر با ۱۵ S.cm<sup>-۱</sup> در دمای ۷۵°C برخوردار بوده است. با ترکیب نانو پودر 5 CSDC با کربنات‌های لیتیم و سدیم، نانوکامپوزیت CSDC 5 - LN (Li,Na)<sub>2</sub>CO<sub>3</sub> سنتز و الکتروولیت آن ساخته شد. الگوی XRD این کامپوزیت مشابه الگوی مربوط به سریم و 5 CSDC بوده که احتمال آمورف بودن فاز کربنات را مطرح کرد. داده‌های آنالیزهای جرم‌سنجی حرارتی و حرارتی ترقی (TG/DTA) بیان داشت که فاز کربنات تا دمای تغییری ۷۳۰°C پایدار بوده و تجزیه نشده است. تصاویر حاصل از FE-SEM مشخص نمود که نانوذرات 5 با فاز کربنات احاطه شده‌اند. همچنین نمونه کامپوزیت زیستر شده دارای تخلخل و تراکم نسبی بوده است. نتایج آزمون امپلانس نمونه CSDC 5 - LN مشخص ساخت که در بالای دمای ۷۵°C هدایت یونی نمونه کامپوزیت (S.cm<sup>-۱</sup>) برابر با ۱۵ می‌باشد. با اختلاف فاصله ۵ پیابری بیشتر از هدایت یونی نمونه 5 CSDC بود. این امر بیانگر اثر مشتث بهره‌گیری از فاز کربنات به علت دارا بودن هدایت یونی Na<sup>+</sup> و CO<sub>3</sub><sup>2-</sup> در محلوده دمایی گفته شده بوده و آن را به عنوان یکی از کاندیداهای الکتروولیت پیلهای سوتی اکسید جامد دما پایین (LT-SOFC) مطرح می‌نماید.

#### اطلاعات مقاله:

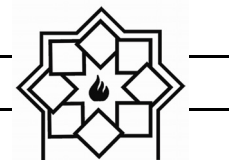
دریافت: ۱۳۹۵/۲/۲۶

پذیرش: ۱۳۹۵/۹/۲۰

#### کلید واژه:

SOFC، الکتروولیت، نانوکامپوزیت،

سریمی دوب شده



## ۱- مقدمه

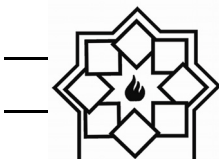
الکتروولیت‌های کامپوزیت مورد بررسی بوده‌اند مانند SDC و YDC. این نوع از کامپوزیت‌ها از هدایت یونی بسیار بالاتری نسبت به الکتروولیت‌های تک فاز اکسیدهای زیرکونیا و سریای دوب شده برخوردار هستند [۱۵].

الکتروولیت‌های کامپوزیتی از دو فاز تشکیل شده‌اند که اولی محلول جامدی از اکسید سریم دوب شده و دیگری نمک یا فاز اکسیدی است که معمولاً از نظر الکتریکی عایق می‌باشد. در مورد مخلوطی از  $\text{Li}_2\text{CO}_3$  و  $\text{Na}_2\text{CO}_3$  در دمای بالای  $500^{\circ}\text{C}$  فاز مذاب تشکیل می‌شود. در تحقیقات گوناگون نشان داده شده است که فصل مشترک این دو فاز مسیر و عامل اصلی افزایش هدایت یونی است. در اینجا پارامتر مهمی که بایستی مورد توجه قرار گیرد، دانسیته فصل مشترک یا مساحت سطح مشترک میان دو فاز است؛ هر چه فصل مشترک بزرگ‌تر باشد، هدایت الکتریکی نیز بیشتر خواهد بود. بنابراین کاهش اندازه ذرات در هر دو فاز هدایت الکتریکی را بیشتر افزایش می‌دهد [۱۶ و ۱۷]. برای سنتز سریای دوب شده جهت ساخت چنین نانوکامپوزیت‌هایی می‌توان از روش‌های مختلف سنتز نانومواد همچون هیدروترمال [۱۸]، هم رسوی و فرآیندهای احتراقی [۹-۱۵] بهره گرفت.

در زمینه چنین نانوکامپوزیت‌هایی، ترکیبات گوناگونی از جمله انواع ترکیبات سریای دوب شده با عناصر گوناگون نظیر  $\text{Ce}^{3+}$ ،  $\text{Sm}^{3+}$ ،  $\text{Gd}^{3+}$ ،  $\text{Ca}^{2+}$ ،  $\text{Nd}^{3+}$  و  $\text{Sm}^{3+}$  مورد بررسی قرار گرفته است [۱۲ و ۱۵-۲۰]. در این میان  $\text{Sm}^{3+}$  و  $\text{Ca}^{2+}$  بیشترین توجه و تعداد آزمایش‌ها را به خود اختصاص داده‌اند. در کنار این، ایده‌های جدیدی مانند استفاده از سریای دوب شده با دو عنصر نیز ارائه گردید که نتایج مثبتی را به همراه داشته

امروزه تلاش‌های فراوانی برای افزایش بازدهی پیل‌های سوختی اکسید جامد در دماهای پایین در جریان است. یکی از این موارد بهره‌گیری از الکتروولیت‌های با هدایت یونی بالاتر در دماهای پایین می‌باشد. در این جهت تحقیقات بسیاری بر روی موادی مانند  $\text{Bi}_2\text{O}_3$  پایدار شده، سریای دوب شده و گالات لانتانیوم دوب شده با  $\text{Mg}$  و  $\text{Sr}$  (LSGM) انجام گرفته است [۱-۳]. در این میان، سریای دوب شده با  $\text{Gd}^{3+}$ ،  $\text{Sm}^{3+}$  و  $\text{Ca}^{2+}$  بسیار مورد توجه و مطالعه بوده است که از دلایل آن می‌توان به عدم استحاله فاز از دمای اتاق تا دمای ذوب سریا. هدایت یونی بالا، پایداری شیمیایی و حرارتی بالا در بازه وسیعی دمایی اشاره کرد [۴]. در ادامه ایده دوب هم‌زمان دو عنصر در سریا ایده‌ای بود که مشخص کرد می‌تواند هدایت یونی و بازدهی اکسید سریم را به شدت بهبود بخشد [۴-۷].

هر چند دوب هم‌زمان دو عنصر در سریا مزایای زیادی دارد ولی همچنان نمی‌تواند برخی مشکلات مرتبط با سریا نظیر هدایت الکتریکی ناشی از تغییر ظرفیت  $\text{Ce}^{4+}$  به  $\text{Ce}^{3+}$  در دماهای بالا و اتمسفرهای احیایی را بر طرف کند [۸]. به همین جهت ایده استفاده از الکتروولیت‌های کامپوزیت دو فازی مطرح و مورد تحقیق قرار گرفت. طی دهه اخیر تلاش‌های زیادی برای توسعه مواد کامپوزیت و نانوکامپوزیت دو فازی مبتنی بر سریا انجام گرفته است تا بلکه بتوان بر هدایت یونی پایین الکتروولیت‌های تک فاز فائق آمد [۹-۱۴]. به عنوان نمونه می‌توان به کامپوزیت‌های سریا-کربنات، سریا-هالید، سریا-سولفات و سریا-اکسید اشاره کرد. انواع اکسیدهای سریا نیز در



محاسبه شده و مشخصی از پودر نیترات سریم<sup>۱</sup> (Merck) کد ۱۰۲۲۷۱، نیترات ساماریم<sup>۲</sup> (Sigma – Aldrich) کد ۱۰۲۱۲۱ و نیترات کلسیم<sup>۳</sup> (Merck) کد ۱۰۲۱۲۳ در ۵۰ ml آب دی‌یونیزه ریخته شده و سپس اسید سیتریک با نسبت مولی ۳ به ۱ به مخلوط فوق اضافه گردید. در ادامه به مدت ۴۵ دقیقه در دمای ۸۰°C در همزن مغناطیسی<sup>۴</sup> به طور هموژن فرآیند انحلال اجزاء در محیط آبی صورت گرفت. در انتهای این مرحله، مایع نسبتاً غلیظ زرد رنگی بدست آمد. در مرحله بعد مایع مذکور درون خشک کن به مدت ۱۲ ساعت در دمای ۱۵۰°C قرار داده شد تا پودر اولیه قهوه‌ای تیره رنگ ۵ CSDC رسوب کند. سپس پودر حاصل در کوره الکتریکی در دمای ۷۰۰°C به مدت ۲ ساعت کلسینه شد. در اینجا پودر ۵ CSDC نهایی به رنگ زرد روشن به دست آمد.

برای سنتز پودر نمونه کامپوزیت CSDC5 – CSDC5 – LN<sup>۵</sup> (Li<sub>2</sub>Na<sub>2</sub>CO<sub>3</sub>)<sup>۶</sup> (Merck) کد ۱۰۵۶۷۰ با نسبت مولی ۲ به ۱ با پودر کربنات سدیم<sup>۷</sup> (Merck) کد ۱۰۶۳۹۰ مخلوط گردید. سپس مخلوط فوق به همراه پودر CSDC5 (با نسبت وزنی ۸۰/۲۰ : ۸۰/۲۰ CSDC5/Li<sub>2</sub>Na<sub>2</sub>CO<sub>3</sub>) درون یک کاپ<sup>۸</sup> زیرکونیایی دارای گلوله‌هایی با همان جنس ریخته شد و با افزودن ۵ cc اتانول (Merck) کد ۱۰۰۹۷۱ تحت فرآیند اختلاط با دستگاه SPEX (بال میل پر سرعت و پر انرژی)

است. از جمله این تلاش‌ها، آقای Liu و همکارانش به بررسی اثر بهره‌گیری از سریای دوب شده با Nd<sup>3+</sup> و Sm<sup>3+</sup> در ساخت نانوکامپوزیت‌هایی از این سریا با مقادیر مختلف کربنات (Li/Na)<sub>2</sub>CO<sub>3</sub> پرداختند. آن‌ها طی تحقیقات خود دریافتند که بهترین هدایت را ترکیب کامپوزیتی SNDC/(Li<sub>2</sub>Na<sub>2</sub>CO<sub>3</sub>) (80:20 %wt) داشتند که هدایت الکتریکی DC آقای Liu و همکارانش دریافتند که هدایت الکتریکی SNDC / کربنات، نمونه با ۲۰ درصد وزنی از فاز کربنات بیشترین هدایت را دارا می‌باشد. طی این تحقیق، هدایت ترکیب فوق در دمای ۴۸۰°C برابر با ۰/۰۱ S.cm<sup>-۱</sup> بود. بدست آمد که این مقدار برای الکتروولیت SDC تنها در ۶۰۰°C و برای YSZ در دمای ۸۰۰°C قابل دستیابی است [۲۰]. تحقیقاتی که توسط آقای Raza صورت گرفت، نشان داد که فاز CSDC (Ce<sub>0.8</sub>Sm<sub>0.2-x</sub>Ca<sub>x</sub>O<sub>2-δ</sub>) و کامپوزیت SDC/Na<sub>2</sub>CO<sub>3</sub> هر دو با اختلاف زیادی هدایت بالاتری را نسبت به SDC دارا بوده است؛ همچنین مشاهده گردید که فاز CSDC در دمای ۳۰۰°C از هدایت یونی برابر با ۰/۱ S.cm<sup>-۱</sup> برخوردار است که بسیار بالاتر از هدایت یونی دو فاز SDC و کامپوزیت SDC/Na<sub>2</sub>CO<sub>3</sub> در همین دما می‌باشد [۲۱].

## ۲- بخش تجربی

### ۲-۱- سنتز پودر و شکل‌دهی قطعه

در اینجا سریای دوب شده با ساماریم و کلسیم به فرمول شیمیایی Ca<sub>0.05</sub>Sm<sub>0.2</sub>Ce<sub>0.75</sub>O<sub>1.9-δ</sub> (CSDC 5) از طریق روش نیترات – سیترات سنتز گردید. بدین منظور مقادیر

<sup>۱</sup> Ce(NO<sub>3</sub>)<sub>3</sub>.6H<sub>2</sub>O

<sup>۲</sup> Sm(NO<sub>3</sub>)<sub>3</sub>.6H<sub>2</sub>O

<sup>۳</sup> Ca(NO<sub>3</sub>)<sub>2</sub>.4H<sub>2</sub>O

<sup>۴</sup> Hot-plate stirrer

<sup>۵</sup> Li<sub>2</sub>CO<sub>3</sub>

<sup>۶</sup> Na<sub>2</sub>CO<sub>3</sub>

<sup>۷</sup> Cup



که در آن  $\lambda$  طول موج اشعه ایکس بر حسب  $\theta$  زاویه پراش براگ،  $\beta$  پهنهای پیک در نصف شدت بیشینه آن بر حسب رادیان است.

### ۲-۲-۲- بررسی مورفولوژی (SEM)

میکروسکوپ الکترونی روبشی گسیل میدانی به دلیل بزرگنمایی و وضوح تصویر بالای آن، به منظور تعیین مورفولوژی و بررسی حدودی اندازه ذرات نمونه‌های پودری CSDC 5 و کامپوزیت LN - 5 تا CSDC 5 و همچنین مورفولوژی سطح و تراکم نمونه‌های زینتر شده مورد استفاده IGMA VPS قرار گرفت. دستگاه مورد استفاده از نوع ساخت شرکت Zeiss آلمان می‌باشد. در اینجا به منظور رسانا کردن سطح نمونه‌های پودری و زینتر شده، همگی آن‌ها با لایه‌ای از طلا پوشانده شدند. البته نمونه‌های زینتر شده قبل از مرحله پوشش دهی، پولیش و اج حرارتی شدند. نمونه‌ها جهت اج حرارتی در کوره الکتریکی به مدت ۱ ساعت در دمای  $100^{\circ}\text{C}$  پایین‌تر از دمای زینترینگ خود حرارت داده شدند.

### ۳-۲-۲- آنالیز حرارتی (TG/DTA)

آنالیز حرارتی TG/DTA جهت تعیین نقطه ذوب و نیز دمای تجزیه کربنات  $(\text{Li}, \text{Na})_2\text{CO}_3$  به کار گرفته شد. بدین منظور از دستگاه NETZSCH STA 409 PC/PG در بازه دمایی دمای افق تا  $1000^{\circ}\text{C}$  و با نرخ  $10^{\circ}\text{C}/\text{min}$  بهره گرفته شد.

### ۴-۲-۲- هدایت یونی

برای تعیین هدایت یونی یک الکترولیت از رابطه زیر استفاده می‌گردد:

$$\sigma = \frac{1}{R.A} \quad (2)$$

قرار گرفت. در انتهای جهت اطمینان از خروج اتانول باقی مانده، مخلوط به مدت ۱۲ ساعت در دمای  $150^{\circ}\text{C}$  درون یک خشک‌کن الکتریکی قرار داده شد و سپس به یک کوره الکتریکی منتقل و در دمایی برابر با  $700^{\circ}\text{C}$  به مدت ۲ ساعت تحت فرآیند کلسانیاسیون قرار گرفت. در نهایت پودر نهایی کامپوزیت CSDC 5 - LN به دست آمد.

پودر کامپوزیت CSDC 5 - LN به دست آمده در مرحله قبل با روش پرس خشک و اعمال فشار ۳۰۰ MPa توسط یک دستگاه پرس هیدرولیک تک محوره به قرص‌هایی با قطر  $10 \text{ mm}$  و ضخامت  $2 \text{ mm}$  تبدیل شدند. نمونه‌های پرس شده جهت زینترینگ در دمای  $700^{\circ}\text{C}$  به مدت ۲ ساعت در هوا درون کوره الکتریکی قرار داده شده و بدین ترتیب قرص الکترولیت کامپوزیت CSDC 5 - LN به دست آمد.

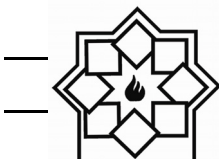
### ۲-۲- تعیین خواص

#### ۱-۲-۲- آنالیز فازی (XRD)

از پراش اشعه ایکس جهت بررسی صحت فازهای نهایی تشکیل شده CSDC 5-LN و CSDC 5 بهره‌گرفته شد؛ بدین منظور از یک دستگاه XRD مدل XMD-300 ساخت شرکت Unisantis آلمان استفاده گردید. داده‌های به دست آمده از پراش اشعه ایکس حاصل از طیف  $\text{Cu}-\text{K}\alpha$  ( $\lambda = 1/540.598 \text{ \AA}$ ) بوده است. برای تعیین اندازه متوسط بلورک‌ها<sup>۱</sup> (D) از رابطه دبای - شرر به قرار زیر استفاده گردیده است.

$$D = \frac{0.9\lambda}{\beta \cos \theta} \quad (1)$$

<sup>۱</sup> - Crystallite



شرکت Solartron بریتانیا، جریانی با دامنه ولتاژ  $10 \text{ mV}$  در بازه فرکانسی  $1 \text{ MHz} - 10^4 \text{ Hz}$  به نمونه‌ها اعمال گردید و در ادامه پاسخ فرکانسی آن‌ها به صورت نمودار نایکوزیت توسط یک تحلیل‌گر امپدانس مدل Solartron 1260A (بریتانیا) ثبت شد. به منظور تعیین مقاومت ماده از روی این نمودار، از مدار معادل (LR)(QR) بهره گرفته شد.

### ۳- نتایج و بحث

#### ۱-۳- آنالیز فازی

الگوهای پراش نمونه سنتز شده کامپوزیت CSDC 5 – LN همراه با الگوی پراش اشعه ایکس CSDC5 تنها، الگوی Mرجع سریایی دوب شده با ساماریم (SDC) تنها (مرجع PDF 01-075-0158) و الگوی Mرجع اکسید سریم خالص (PDF 00-034-0394) در شکل (۱) نشان داده شده است. می‌توان مشاهده کرد که هر دو نمونه 5 CSDC و کامپوزیت LN – 5 الگوی XRD مشابه الگوی سریا و SDC دارند. این امر نشان می‌دهد که دو نمونه فوق از ساختار مکعبی فلوریتی سریا برخوردارند و بدین ترتیب محلول جامد کامل تشکیل شده است. از سویی، فاز ثانویه حاوی کلسیم و کربنات مشاهده نمی‌شود که این می‌تواند به این دلیل باشد که در صورت وجود این فازهای ثانویه، میزان آن‌ها به حدی است که از حداقل دقت XRD ( $5\%$  وزنی) کمتر می‌باشد. در مورد نمونه کامپوزیت، عدم مشاهده فاز ثانویه حاوی کربنات را می‌توان به آمورف بودن آن نسبت داد. نتایج مطرح در مراجع ۱۱ تا ۱۷ و ۲۱ تا ۲۶ این ادعا را تأیید می‌کنند. بنابراین می‌توان ادعا کرد که یک لایه آمورف از ترکیب

که در آن  $R$  مقاومت قطعه،  $A$  سطح فعال<sup>۱</sup> نمونه و در نتیجه  $\sigma$  هدایت یونی کل الکتروولیت می‌باشد.

$\sigma$  به دست آمده از رابطه (۳) در رابطه زیر قرار داده می‌شود:

$$\sigma = \frac{A}{T} \exp\left(\frac{-E\alpha}{kT}\right) \quad (3)$$

که در آن  $A$  ضریب ثابت<sup>۲</sup>،  $E\alpha$  انرژی فعال‌سازی<sup>۳</sup>،  $k$  ثابت بولتزمن (در اینجا برابر با  $8.62 \times 10^{-5} \text{ eV/K}$ ) و  $\sigma$  هدایت یونی است. با قرار دادن مقادیر مربوط به هدایت کل و دمای کلوین و رسم نمودار  $\ln \sigma T$  بر حسب  $T/1000$  و به دست آوردن شبیه این نمودار، می‌توان انرژی فعال‌سازی را به دست آورد (رابطه ۴).

$$\ln \sigma T = \ln A - \frac{E\alpha}{kT} \quad (4)$$

در اینجا آزمون EIS مورد نظر در بازه دمایی  $250 - 650^\circ\text{C}$  انجام گردید. برای این منظور، ابتدا هر دو سمت نمونه‌ها با چسب نقره<sup>۴</sup> (Fuel Cell Materials، امریکا) – به عنوان جمع کننده‌های جریان<sup>۵</sup> – پوشش داده و سپس در دمای  $750^\circ\text{C}$  (برای نمونه 5 CSDC) و دمای  $200^\circ\text{C}$  (برای نمونه کامپوزیت CSDC 5 – LN) به مدت ۱ ساعت در کوره الکتریکی پخت شدند تا بخش آلی آن خارج و اتصال کامل آن با سطح نمونه برقرار شود. سپس با استفاده از سیم‌های پلاتینی به عنوان پروفیل جریان، توسط دستگاه گالوانوستات/پتانسیوستات Solartron 1287 ساخت

<sup>1</sup> Active area

<sup>2</sup> Pre-exponential factor

<sup>3</sup> Activation energy

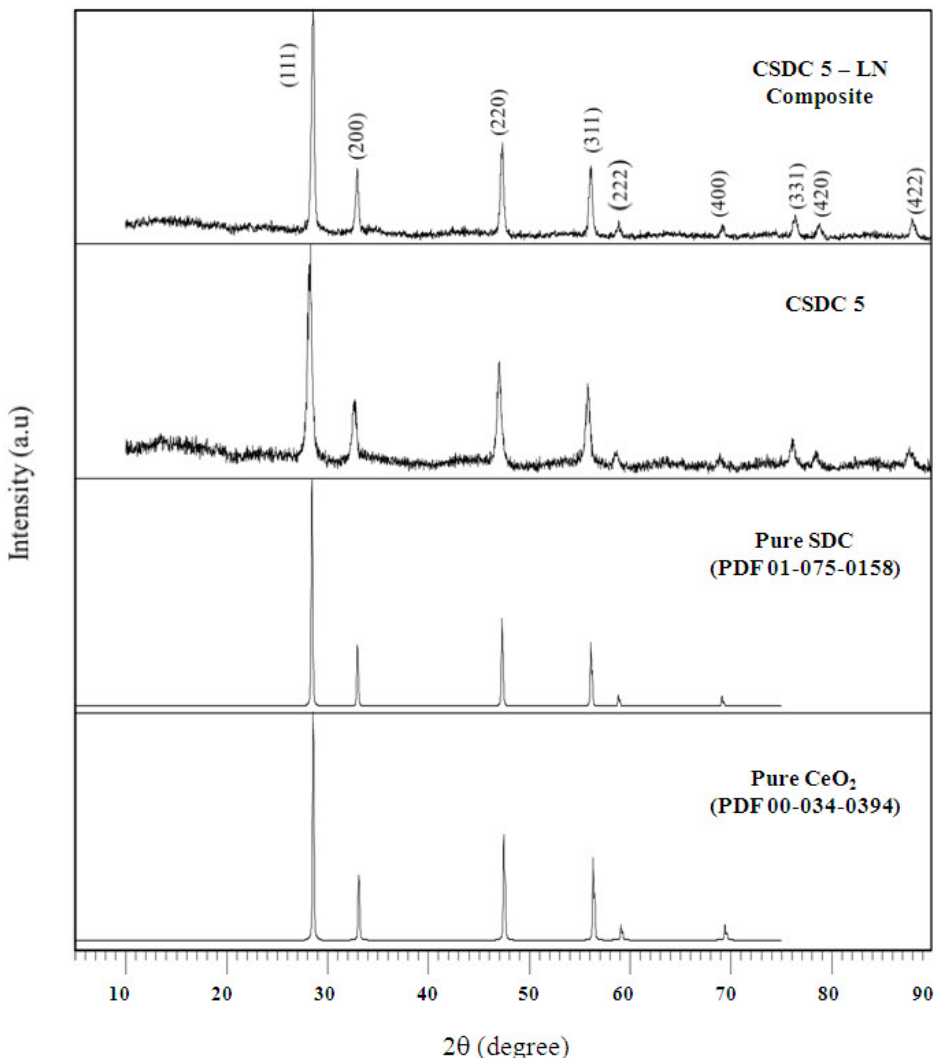
<sup>4</sup> Silver paste

<sup>5</sup> Current Collector



همچنین با استفاده از رابطه دبای شر (رابطه ۱) اندازه متوسط کریستالیت‌های نمونه ۵ CSDC در حد  $19\text{ nm}$  به دست آمد.

یوتکتیک کربنات سدیم وجود دارد که دور ذرات ۵ را احاطه کرده‌اند و در نتیجه پیک مجازایی به غیر از فاز اصلی ۵ CSDC مشاهده نمی‌شود.

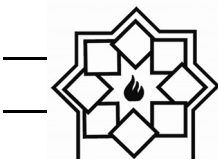


شکل ۱ - الگوهای XRD نمونه‌های ۵ CSDC و ۵ - LN به همراه الگوی مرجع

دوم در دمای حدود  $50.5^\circ\text{C}$  مربوط به دمای ذوب (نقطه یوتکتیک) ترکیب دوتایی  $(\text{Li}, \text{Na})_2\text{CO}_3$  است. در منحنی مربوط به TG دو پله کاهش جرم دیده می‌شود. اول در دمای تقریبی  $101^\circ\text{C}$  که نشانگر خروج آب و اتانول می‌باشد که با کاهش جرم نزدیک به  $4\%$  همراه بوده است. حد

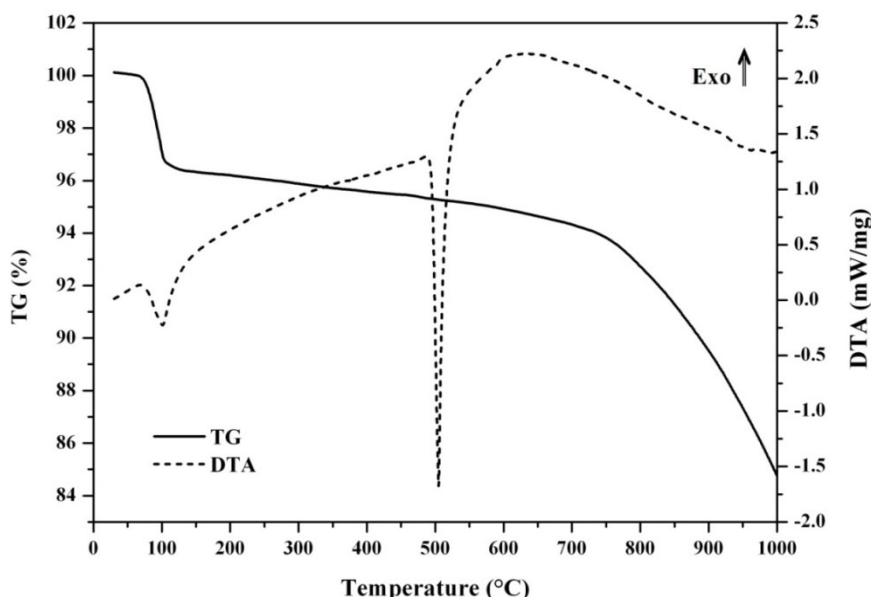
### ۲-۳- آنالیز حرارتی

شکل (۲) نمودارهای مربوط به آنالیزهای TG و DTA را نشان می‌دهد. در نمودار DTA، پیک گرمایشی اول در دمای حدود  $101^\circ\text{C}$  مربوط به خروج آب و اتانول و پیک گرمایشی



نمی‌شود و از آن جا که دمای زینترینگ و نیز بازه دمایی آزمون امپدانس تا  $700^{\circ}\text{C}$  بوده‌اند، می‌توان اطمینان داشت فاز کربنات وجود داشته و تجزیه نگردیده است.

فاصل  $10^{\circ}\text{C}$  تا  $730^{\circ}\text{C}$  کاهش جرم با شیب بسیار ملایمی (حدوداً ۳٪) رخ می‌دهد ولی از دمای حدود  $730^{\circ}\text{C}$  تا  $1000^{\circ}\text{C}$  جرم در حدود ۲۰٪ کاهش می‌یابد. این امر نشان می‌دهد که فاز کربنات تا دمای تقریبی  $730^{\circ}\text{C}$  تجزیه



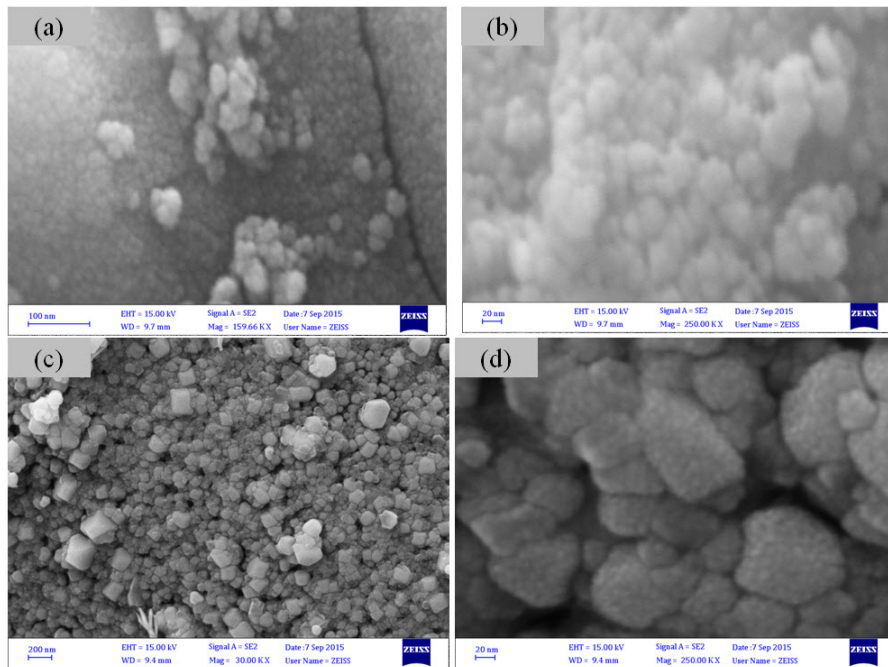
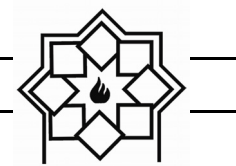
شکل ۲- منحنی‌های TG و DTA مربوط به ترکیب دوتایی کربنات  $(\text{Li},\text{Na})_2\text{CO}_3$ .

کرده است.

بخش‌های (a) و (b) از شکل (۴)، تصاویر FE-SEM مربوط به نمونه زینتر شده CSDC 5 و بخش‌های (c) تا (f) از همین شکل، تصاویر FE-SEM مربوط به نمونه زینتر شده کامپوزیت سریا - کربنات را در بزرگنمایی‌های مختلف نشان می‌دهد. در بخش‌های (g) و (h) از شکل مذکور، داده‌های آنالیز عنصری EDX از سطح نمونه کامپوزیت نشان داده شده است.

### ۳-۳- بررسی مورفولوژی

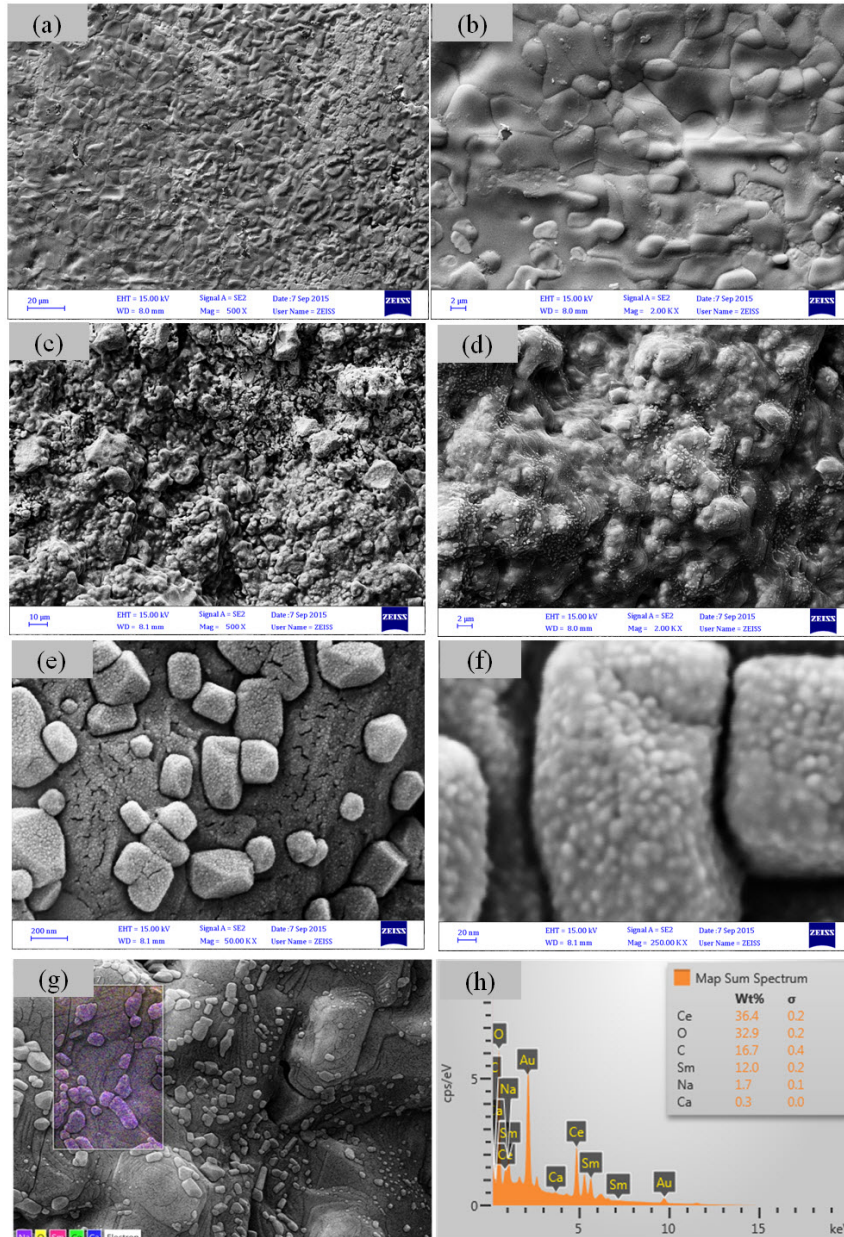
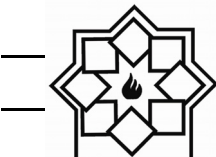
مورفولوژی ذرات پودر CSDC 5 و نانوکامپوزیت 5 CSDC 5 - در تصاویر FE-SEM شکل (۳) نشان داده شده است. مطابق تصاویر بخش (a) و (b) از شکل مذکور، ذرات ۲۰ nm CSDC 5 کروی شکل بوده و اندازه‌ای در حدود ۲۰ nm دارند. در بخش‌های (c) و (d) همین شکل، ذرات نانوکامپوزیت CSDC 5 - LN مشاهده می‌شود که در آن فاز کربنات  $(\text{Li},\text{Na})_2\text{CO}_3$  نانوذرات CSDC 5 را احاطه



شکل ۳- تصاویر FE-SEM از پودر سنتز شده (a) و (b) CSDC 5 و (c) و (d) CSDC 5 در بزرگنمایی‌های مختلف.

شکل نشان از وجود یک فاز با مورفولوژی آمورف دارد که همان فاز آمورف کربناتی است که روی سطوح ذرات CSDC 5 را پوشانده است. با توجه به این مطلب می‌توان گفت که یک کامپوزیت نسبتاً همگن به دست آمده است.

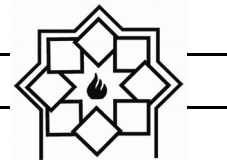
همان طور که در تصاویر شکل مذکور ملاحظه می‌شود، نمونه CSDC 5 از ساختاری متراکم برخوردار است. از طرفی مشاهده می‌شود که نمونه کامپوزیت CSDC 5 - LN ساختاری نسبتاً متخلخل دارد. تصویر بخش (d) همین



شکل ۴- تصاویر FE-SEM از نمونه‌های زینتر شده (a) و (b)، (c)، (d)، (e) و (f) کامپوزیت CSDC 5 – LN در بزرگنمایی‌های مختلف، (g) و (h) آنالیز EDX از سطح نمونه کامپوزیت.

را احاطه کرده و از اتصال آن‌ها به یکدیگر جلوگیری کرده است. هر چند در بخش‌هایی نیز به نظر آگلومراسیون دیده می‌شود. در قوع این موارد انتخاب دمای زینترینگ ( $700^{\circ}\text{C}$ ) هم مؤثر بوده است؛ چرا که اگر دمای پایین‌تری

در بخش‌های (e) و (f) از شکل (۴) که تصاویر FE-SEM از نمونه کامپوزیت را در بزرگنمایی‌های به ترتیب ۵۰۰۰۰ و ۲۵۰۰۰ نشان می‌دهند، می‌توان تکه‌هایی را مشاهده کرد که حاوی نانوذرات 5 CSDC می‌باشد که فاز کربنات آن‌ها



ایفا کرده و بدین ترتیب هدایت یونی کل نمونه کامپوزیت بالاتر از نمونه 5 CSDC می‌باشد.

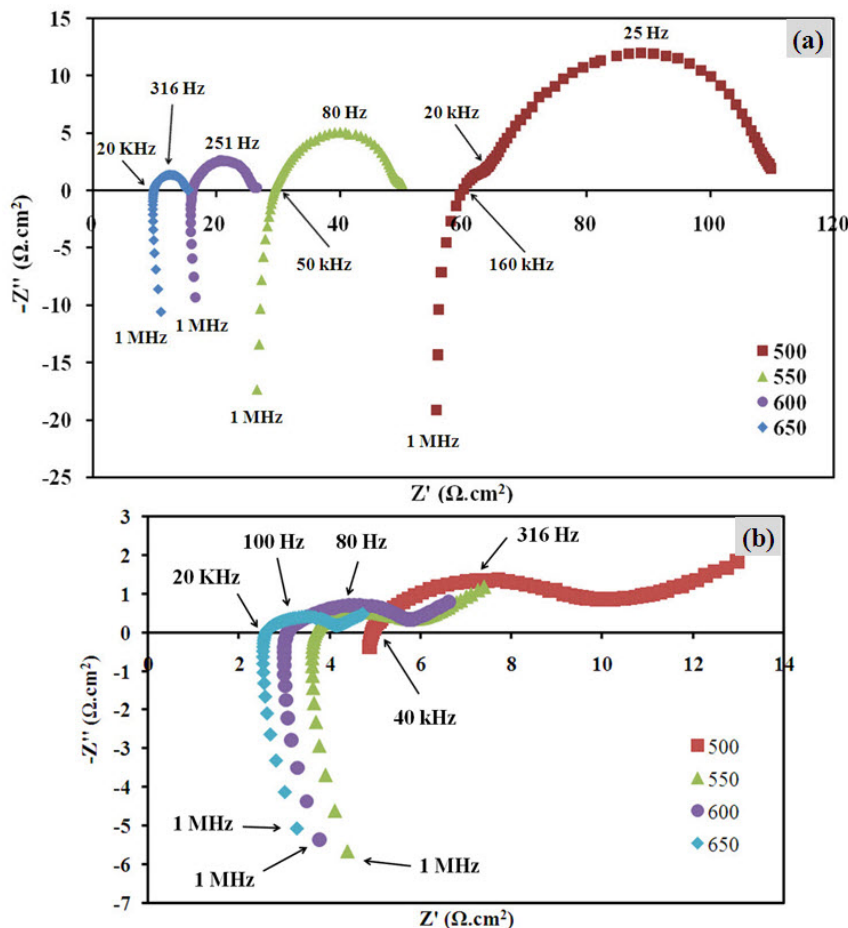
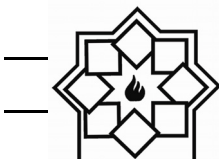
این که در دمای پایین‌تر از  $500^{\circ}\text{C}$ ، نمونه کامپوزیت نسبت به نمونه 5 CSDC هدایت بسیار کمتری دارد می‌تواند ناشی از انجماد فاز کربنات در این محدوده دمایی (پایین‌تر از نقطه یوتکتیک ترکیب دوتایی کربنات لیتیم و سدیم) باشد. در این حالت تحرک یونی مربوط به  $\text{Li}^+$ ,  $\text{Na}^+$  و  $\text{CO}_3^{2-}$  به شدت محدود شده و از آنجایی که فاز کربنات دور ذرات سریا را احاطه کرده است، هدایت یونی  $\text{O}^{2-}$  فاز سریا نیز محدود بوده و بدین جهت هدایت یونی کل کامپوزیت سریا - کربنات در این محدوده دمایی به شدت کمتر از هدایت 5 CSDC می‌باشد.

نرديك به  $500^{\circ}\text{C}$  (دمای ذوب فاز کربنات) انتخاب می‌شده، فاز مذاب کمتر و با ویسکوزیته بالاتری به دست می‌آمد که نمی‌توانست به خوبی ذرات 5 CSDC را احاطه کند و بدین ترتیب امکان اتصال ذرات 5 CSDC به یکدیگر وجود داشت.

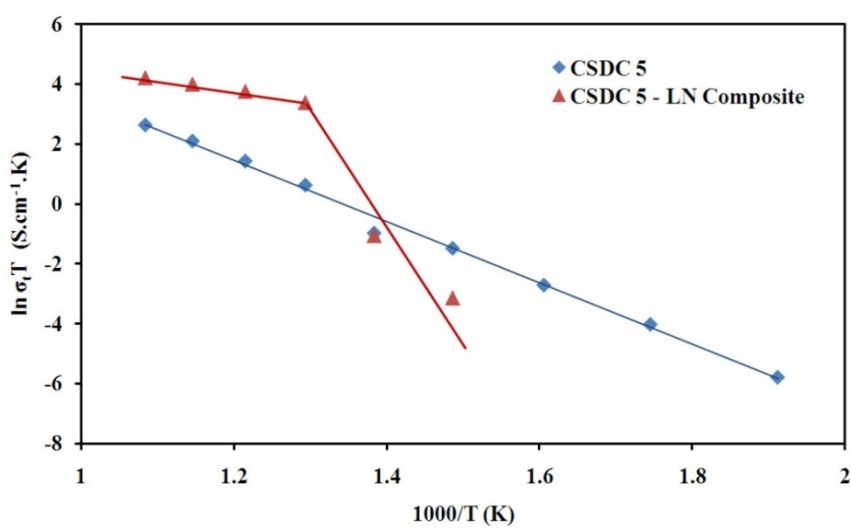
#### ۴-۳- هدایت یونی

شکل (۵) طیف امپدانس مربوط به نمونه 5 CSDC (بخش CSDC 5 - LN) و طیف امپدانس نمونه نانوکامپوزیت (بخش b) را در چهار دمای مختلف نشان می‌دهد. نمودار آریوسی تغییرات لگاریتمی هدایت یونی نمونه 5 CSDC و CSDC 5 - LN با دما در شکل (۶) نشان داده شده است. همان‌طور که مشاهده می‌شود در دمای پایین‌تر از  $500^{\circ}\text{C}$  هدایت یونی نمونه 5 CSDC بالاتر از هدایت یونی نمونه کامپوزیت سریا - کربنات است. اما با افزایش دما به بالاتر از این دما، هدایت یونی به طور ناگهانی افزایش یافته و از نمونه 5 CSDC پیشی می‌گیرد. در این دما، انتقال فاز ابر یونی<sup>۱</sup> وجود دارد به صورتی که شبیب نمودار هدایت یونی کامپوزیت، قبل و بعد از این دما متفاوت بوده (جدول ۱) و هدایت پس از آن سه مرتبه<sup>۲</sup> افزایش داشته و از هدایت CSDC 5 پیشی می‌گیرد. از این دما می‌توان به عنوان دمای انتقال فاز ابر یونی نام برد. این انتقال و یا همان افزایش شدید هدایت یونی، می‌تواند به این دلیل باشد که از این دما به بعد فاز کربنات مذاب وجود دارد و در نتیجه علاوه بر هدایت یونی مربوط به  $\text{O}^{2-}$  در سریا، هدایت مربوط به یون‌های  $\text{Li}^+$ ,  $\text{Na}^+$  و  $\text{CO}_3^{2-}$  نیز در هدایت کل نقش

<sup>1</sup> Superionic Phase Transition  
<sup>2</sup> Order



شکل ۵- طیف امپدانس نمونه (a) CSDC 5 و  
نامویت CSDC 5 – LN در دماهای مختلف.  
(b)



شکل ۶- تغییرات آرئیوسی هدایت یونی نمونه‌های CSDC 5 – LN و CSDC 5 با دما.



جدول ۱- انرژی فعالسازی و هدایت یونی الکتروولیت‌های ۵ CSDC و CSDC 5 – LN

نمونه	هدایت یونی کل	
	انرژی فعالسازی ۴۵۰ – ۶۵۰°C	@ ۶۵۰°C (S.cm⁻¹)
CSDC 5	E <sub>a</sub> <sub>f</sub> (eV) ۰/۸۸	۰/۰۱۵
T<۵۰۰ °C	۲/۹۰	۰/۰۷۳
CSDC 5 – LN	T>۵۰۰ °C	۰/۳۴

فضایی<sup>۱</sup> و تجمع ناخالصی‌ها نشأت می‌گیرد، در فاز سریا وجود دارد، بنابراین هدایت یونی در کربنات تنها محدود به هدایت آئیون اکسیژن نیست، بلکه غلظت بالای یون‌ها و جاهای خالی اکسیژن در سطح ذرات ۵ CSDC و بر هم کنش آن‌ها با فاز ثانویه کامپوزیت می‌تواند باعث ایجاد بزرگراه‌هایی هم برای هدایت یون O<sup>2-</sup> و هم در صورت بهره‌گیری از هیدروژن به عنوان سوخت، برای هدایت یون H<sup>+</sup> در کامپوزیت گردد [۱۶ و ۱۷]. مورد آخر نکته جالبی است که آقای Fan و همکارانش بیان می‌دارند که پروتون هیدروژن با CO<sub>3</sub><sup>2-</sup> تشكیل HCO<sup>-</sup> داده و با این ترتیب نانوکامپوزیت سریا – کربنات می‌تواند هدایت هم زمان آئیونی و پروتونی داشته و هدایت کل و بازدهی پیل سوختی اکسید جامد را افزایش دهد [۱۶].

#### ۴- نتیجه‌گیری

در این تحقیق که در آن اثر دوب همزمان دو عنصر کلسیم و ساماریم در سریا مورد بررسی بود، با سنتز نانوذرات CSDC با روش احتراق نیترات – سیترات و ساخت الکتروولیت از این نانوذرات، مشخص گردید که ترکیب

هر چند در اینجا به هدایت یونی بالای گزارش شده ۰/۲ S.cm<sup>-۱</sup> در برخی مراجع دست یافته نشد، اما با این حال هدایت نانوکامپوزیت LN – LN در دمای CSDC ۵ – LN در حدود ۵ برابر هدایت نمونه ۶۵۰°C (۰/۰۷۳ S.cm<sup>-۱</sup>) در حدود ۵ برابر هدایت نمونه CSDC ۵ در همان دما (۰/۰۱۵ S.cm<sup>-۱</sup>) بود. علت اختلاف زیاد با عدد گزارش شده در مراجع را در این نکته می‌توان جستجو کرد و محتمل دانست که تنها پارامتر متفاوت آن‌ها در ساخت الکتروولیت نانوکامپوزیت سریا – کربنات، بهره‌گیری آن‌ها از روش همرسوبی در سنتز تک مرحله‌ای پودر نانوکامپوزیت بوده است.

مکانیزم‌های مختلفی برای توجیه هدایت یونی در کامپوزیت‌های سریا – کربنات توسط محققین متعددی مورد بررسی و ادعا بوده است [۹ و ۱۱ و ۱۲ و ۲۲ و ۲۳]. آنچه بیشتر مورد اشاره بوده این است که کامپوزیت سریا – کربنات در واقع هادی مختلطی از چند یون مختلف است. در این کامپوزیت، سریا به عنوان فاز اصلی، هادی یون اکسیژن است و فاز کربنات به عنوان فاز ثانویه هدایت یون‌های فلزی و کربنات را در دمای بالا بر عهده دارد. از آنجایی که مقاومت بالای مرزدانه‌ای که خود از عواملی چون لایه بار

<sup>۱</sup> Space Charge Zone



- American Ceramic Society, (2011).
- [6] Zheng, Y., Shi, Y., Gu, H., Gao, L., Chen, H., & Guo, L. La and Ca co-doped ceria-based electrolyte materials for IT-SOFCs. *Materials Research Bulletin*, 44(8), 1717-1721, (2009).
- [7] Moure, A., Tartaj, J., & Moure, C. Synthesis, sintering and electrical properties of gadolinia-calcia-doped ceria. *Materials Letters*, 65(1), 89-91, (2011).
- [8] Singh, V., Babu, S., Karakoti, A. S., Agarwal, A., & Seal, S. Effect of submicron grains on ionic conductivity of nanocrystalline doped ceria. *Journal of nanoscience and nanotechnology*, 10(10), 6495-6503, (2010).
- [9] Zhu, B. Functional ceria-salt-composite materials for advanced IT-SOFC applications. *Journal of Power Sources*, 114(1), 1-9, (2003).
- [10] Jing, Y., Patakangas, J., Lund, P. D., & Zhu, B. An improved synthesis method of ceria-carbonate based composite electrolytes for low-temperature SOFC fuel cells. *International journal of hydrogen energy*, 38(36), 16532-16538, (2013).
- [11] Wang, X., Ma, Y., & Zhu, B. State of the art ceria-carbonate composites (3C) electrolyte for advanced low temperature ceramic fuel cells (LTCFCs). *International journal of hydrogen energy*, 37(24), 19417-19425, (2012).
- [12] Fan, L., Wang, C., Di, J., Chen, M., Zheng, J., & Zhu, B. Study of ceria-carbonate nanocomposite electrolytes for low-temperature solid oxide fuel cells. *Journal of nanoscience and nanotechnology*, 12(6), 4941-4945, (2012).
- [13] Abbas, G., Raza, R., Chaudhry, M. A., & Zhu, B. Preparation and characterization of nanocomposite calcium doped ceria electrolyte with alkali carbonates (NK-CDC) for SOFC. *Journal of Fuel Cell Science and Technology*, 8(4), 041013, (2011).

@ 65°C بهترین هدایت  $\text{Ca}_{0.05}\text{Sm}_{0.2}\text{Ce}_{0.75}\text{O}_{1.9-8}$  (0/0 ۱۵ S.cm<sup>-1</sup>) را دارا بوده است که بدین ترتیب به عنوان نمونه بهینه با ترکیب از کربنات‌های لیتیم و سدیم کامپوزیت CSDC 5 - LN سنتز و الکتروولیت آن ساخته شد. نتایج آزمون امپدانس مشخص ساخت که در بالای دمای ۵۰۰°C، هدایت یونی نمونه کامپوزیت با اختلافی فاحش بیشتر از هدایت یونی نمونه 5 CSDC بود. این امر بیانگر اثر مثبت بهره‌گیری از فاز کربنات به علت دارا بودن هدایت یونی  $\text{CO}^{2-}_3$  و  $\text{Li}^+$  و  $\text{Na}^+$  در محدوده دمایی گفته شده بوده و آن را به عنوان یکی از کاندیداهای الکتروولیت پیل‌سوختی اکسید جامد دما پایین مطرح نماید.

## مراجع

- [1] Anjaneya, K. C., Nayaka, G. P., Manjanna, J., Govindaraj, G., & Ganeshan, K. N. (2013). Preparation and characterization of  $\text{Ce}_{1-x}\text{Sm}_x\text{O}_{2-\delta}$  ( $x=0.1-0.3$ ) as electrolyte material for intermediate temperature SOFC. *Solid State Sciences*, 26, 89-96.
- [2] Zhu, B. (2006). Next generation fuel cell R&D. *International journal of energy research*, 30(11), 895-903.
- [3] Badwal, S. P. S., Giddey, S., Kulkarni, A., & Munnings, C. (2014). Review of progress in high temperature solid oxide fuel cells. *J. Aust. Cer. Soc*, 50, 23-37.
- [4] Singh, N. K., Singh, P., Kumar, D., & Parkash, O. Electrical conductivity of undoped, singly doped, and co-doped ceria. *Ionics*, 18(1-2), 127-134, (2012).
- [5] Pikalova, E. Y., Demin, A. K., Bamburov, V. G., Maragou, V. I., & Tsiakaras, P. E. Effect of dopants on  $\text{CeO}_2$  based solid state electrolytes for intermediate temperature electrochemical devices. In *Ceramic Engineering and Science Proceedings* (Vol. 32, No. 4, pp. 23-34). Westerville, OH United States:



- Study on calcium and samarium co-doped ceria based nanocomposite electrolytes. *Journal of Power Sources*, 195(19), 6491-6495, (2010).
- [22] Zhao, Y., Xia, C., Wang, Y., Xu, Z., & Li, Y. Quantifying multi-ionic conduction through doped ceria-carbonate composite electrolyte by a current-interruption technique and product analysis. *International Journal of Hydrogen Energy*, 37(10), 8556-8561, (2012).
- [23] Huang, J., Gao, Z., & Mao, Z. Effects of salt composition on the electrical properties of samaria-doped ceria/carbonate composite electrolytes for low-temperature SOFCs. *International Journal of Hydrogen Energy*, 35(9), 4270-4275, (2010).
- [14] Wang, X., Ma, Y., Raza, R., Muhammed, M., & Zhu, B. Novel core-shell SDC/amorphous  $\text{Na}_2\text{CO}_3$  nanocomposite electrolyte for low-temperature SOFCs. *Electrochemistry Communications*, 10(10), 1617-1620, (2008).
- [15] Xia, Y., Bai, Y., Wu, X., Zhou, D., Liu, X., & Meng, J. The competitive ionic conductivities in functional composite electrolytes based on the series of M-NLCO ( $M = \text{Ce}_{0.8}\text{Sm}_{0.2}\text{O}_{2-\delta}$ ,  $\text{Ce}_{0.8}\text{Gd}_{0.2}\text{O}_{2-\delta}$ ,  $\text{Ce}_{0.8}\text{Y}_{0.2}\text{O}_{2-\delta}$ ; NLCO =  $0.53 \text{Li}_2\text{CO}_3 - 0.47 \text{Na}_2\text{CO}_3$ ). *International Journal of Hydrogen Energy*, 36(11), 6840-6850, (2011).
- [16] Fan, L., Wang, C., Chen, M., & Zhu, B. Recent development of ceria-based (nano) composite materials for low temperature ceramic fuel cells and electrolyte-free fuel cells. *Journal of Power Sources*, 234, 154-174, (2013).
- [17] Zhu, B., Fan, L., & Lund, P. Breakthrough fuel cell technology using ceria-based multi-functional nanocomposites. *Applied Energy*, 106, 163-175, (2013).
- [18] Wang, S. F., Yeh, C. T., Wang, Y. R., & Wu, Y. C. Characterization of samarium-doped ceria powders prepared by hydrothermal synthesis for use in solid state oxide fuel cells. *Journal of Materials Research and Technology*, 2(2), 141-148, (2013).
- [19] Lapa, C. M., Figueiredo, F. M. L., De Souza, D. P. F., Song, L., Zhu, B., & Marques, F. M. B. Synthesis and characterization of composite electrolytes based on samaria-doped ceria and Na/Li carbonates. *International journal of hydrogen energy*, 35(7), 2953-2957, (2010).
- [20] Liu, W., Liu, Y., Li, B., Sparks, T. D., Wei, X., & Pan, W. Ceria ( $\text{Sm}^{3+}$ ,  $\text{Nd}^{3+}$ )/carbonates composite electrolytes with high electrical conductivity at low temperature. *Composites Science and Technology*, 70(1), (2010).
- [21] Raza, R., Wang, X., Ma, Y., & Zhu, B.